

## · 论 著 ·

5-杂氮-2'-脱氧胞苷降低了乳腺癌 MDA-MB-231 细胞的体外迁移能力<sup>\*</sup>沈三弟<sup>#</sup>, 吴爱国<sup>△</sup>, 赵 志

(南方医科大学珠江医院普外科, 广州 510282)

**摘要:**目的 探讨 5-杂氮-2'-脱氧胞苷(5-Aza-CdR)对高转移性人乳腺癌 MDA-MB-231 细胞体外迁移能力的作用及可能的机制。方法 实验分为对照组与 5-Aza-CdR 处理组, 分别通过 Transwell 趋化迁移及划痕实验、半定量逆转录 PCR(SqRT-PCR)、甲基化特异性 PCR(MSP)等方法检测 MDA-MB-231 细胞的体外迁移能力、乳腺癌转移抑制基因-1(BRMS1)与 CXC 趋化因子受体-4(CXCR4)基因表达、BRMS1 与 CXCR4 启动子区甲基化状况。结果 对照组与处理组细胞穿过 Transwell 聚碳酸酯滤膜的数量分别为  $1290.00 \pm 214.64$  与  $673.00 \pm 44.00$ , 处理组细胞穿膜数量明显减少 ( $P < 0.05$ ); 24、36、48 h 时间点对照组与处理组细胞划痕愈合率分别为  $20.34 \pm 0.69$ 、 $59.31 \pm 0.38$ 、 $91.77 \pm 0.13$  与  $20.19 \pm 0.67$ 、 $49.32 \pm 0.24$ 、 $69.47 \pm 0.46$ , 其中 36 h 与 48 h 时间点处理组愈合率明显降低 ( $P < 0.05$ ); 对照组与处理组 BRMS1 的相对于内参 GAPDH 的灰度值(IDV)分别为 0 与  $0.39 \pm 0.001$ , 处理组 BRMS1 mRNA 表达明显上调 ( $P < 0.05$ ), 5-Aza-CdR 使 BRMS1 启动子区甲基化的 CpG 岛 B 完全去甲基化, 对照组与处理组 CXCR4 的相对于内参 GAPDH 的 IDV 分别为  $0.58 \pm 0.003$  与  $0.58 \pm 0.01$ , 两组比较差异无统计学意义 ( $P > 0.05$ ), CXCR4 启动子区 CpG 岛 1 的非甲基化状态亦无明显改变。**结论** 5-Aza-CdR 通过去甲基化机制重新激活肿瘤转移抑制基因 BRMS1 的表达, 从而降低了 MDA-MB-231 细胞体外迁移能力。

**关键词:**5-杂氮-2'-脱氧胞苷; 乳腺癌转移抑制基因-1; CXC 趋化因子受体-4; 基因甲基化; 迁移

中图分类号: R737.9; R73-37

文献标识码: A

文章编号: 1671-8348(2010)10-1209-03

5-Aza-2'-deoxycytidine decreases migration ability of breast cancer MDA-MB-231 cells in vitro<sup>\*</sup>SHEN San-di<sup>#</sup>, WU Ai-guo<sup>△</sup>, ZHAO Zhi

(Department of General Surgery, Zhujiang Hospital, South Medical University, Guangzhou 510282, China)

**Abstract: Objective** To investigate the migration function of 5-Aza-CdR on high metastatic human breast cancer MDA-MB-231 cell line in vitro and possible mechanisms. **Methods** MDA-MB-231 cells were treated with 5-Aza-CdR, then cell migration ability in vitro, the mRNA expressions and promotor methylation status of breast cancer metastasis suppressor-1(BRMS1) gene and C-X-C chemokine receptor -4 (CXCR4) gene were detected by Transwell chemotactic migration and wound closure assay, semi-quantitative reverse transcription-PCR(SqRT-PCR), methylation-specific polymerase chain reaction(MSP) respectively. **Results** 5-Aza-CdR decreased the number of cells passing through polycarbonate filter membrane( $1290.00 \pm 214.64$  versus  $673.00 \pm 44.00$ ,  $P < 0.05$ ) and the rate of wound closure( $20.34 \pm 0.69$ ,  $59.31 \pm 0.38$ ,  $91.77 \pm 0.13$  versus  $20.19 \pm 0.67$ ,  $49.32 \pm 0.24$ ,  $69.47 \pm 0.46$  at 24h, 36h, 48h time points respectively) at 36h, 48h time points ( $P < 0.05$ ); upgraded the BRMS1 mRNA expression(0 versus  $0.39 \pm 0.001$  (relative integrated density value, IDV against GAPDH),  $P < 0.05$ ) and demethylated the methylated CpG island B in promotor, while the CXCR4 mRNA expression( $0.58 \pm 0.003$  versus  $0.58 \pm 0.01$ ,  $P > 0.05$ ) and the status of unmethylated CXCR4 CpG island 1 in promotor were not changed significantly. **Conclusion** 5-Aza-CdR reactivates tumor metastasis suppressor gene BRMS1 and decreases the migration ability of MDA-MB-231 cells in vitro by demethylation mechanism.

**Key words:** 5-Aza-CdR; BRMS1; CXCR4; gene methylation, migration

肿瘤的发生除了与基因遗传学有关外, 还与表观遗传学密切相关, 发生在基因启动子或第 1 个外显子区 CpG 岛的超甲基化是最主要的表观遗传学改变。癌细胞基因组整体低甲基化水平与区域超甲基化水平并存, 尤其是抑癌基因与肿瘤转移抑制基因启动子区常出现超甲基化<sup>[1]</sup>, 这与基因表达抑制、肿瘤的发生及转移明显相关。由于 CpG 岛甲基化是一个可以逆转的表观遗传学基因修饰过程, 甲基化状态的改变相对容易并且能保持稳定地遗传, 所以表观遗传学治疗将成为 21 世纪较有前景的肿瘤基因治疗手段<sup>[2-3]</sup>。DNA 甲基转移酶抑制剂能在体内、体外成功地使 DNA 去甲基化, 目前最常用于临床治疗与研究的药物是 5-杂氮-2'-脱氧胞苷(5-Aza-2'-deoxycytidine, 5-Aza-CdR), 该药已于 2004 年经 FDA 批准用于骨髓增生异常综合征(myelodysplastic syndrome, MDS)的治疗, 但是实体肿瘤的治疗仍然处于研究阶段。乳腺癌的发生及转移同

样与 DNA 超甲基化相关<sup>[4]</sup>, 由于抑制肿瘤转移的 BRMS1 与促进肿瘤转移的 CXCR4 启动子区均存 CpG 岛, 故本文通过使用 5-Aza-CdR 作用于高转移性人乳腺癌 MDA-MB-231 细胞来探讨基因启动子区 CpG 岛甲基化状态对 BRMS1、CXCR4 表达及体外迁移能力的影响。

**1 材料与方法**

**1.1 材料** 人乳腺癌 MDA-MB-231 细胞源于 ATCC, L-15 培养基及胎牛血清购自 Hyclone, 5-Aza-CdR 购自 Sigma Aldrich, Transwell 小室(聚碳酸酯膜孔径为  $8 \mu\text{m}$ )购自 Corning, TRIzol、DNazol 购自 Invitrogen, RT-PCR 引物用 Primer Premier 5.0 软件设计, MSP 引物参考文献[5-6], 均由 Invitrogen 合成。M-MLV RT Kit 与 GoTaq<sup>®</sup> Green Master Mix 购自 Promega, EpiTect Bisulfite Kit 购自 Qiagen, Marker(100 bp DNA Ladder)购自北京全式金生物技术有限公司, PTC-200 梯度

\* 基金项目: 广东省科技计划项目(2008B030301345)。 # 在读博士研究生。 △ 通讯作者, Email:wagtyz@163.com。

表1 BRMS1、CXCR4、GAPDH的 SqRT-PCR 引物序列

基因	正义引物 5'-3'	反义引物 5'-3'	产物大小(bp)
BRMS1	AATCGGATGGACCTTGACC	AGAGGATGTGGCTTGACTT	351
CXCR4	AAAATCTCCTGCCACC	GCCAACATAGACCACCTT	366
GAPDH	GGAAGATGGTGATGGGATT	GGATTGGTCGTATTGGG	205

表2 BRMS1、CXCR4 的 MSP 引物序列

基因	正义引物 5'-3'	反义引物 5'-3'	产物大小(bp)
BRMS1	(U) AGATGTTTATGTTATTGGTGTG	ATTAATCTTACTCCTCCTACCCATA	130
	(M) TAGATGTTTACGTTATTGGTGC	ATTAATCTTACTCCTCCTACCCGTA	130
CXCR4	(U) GATTGAAGATTTGGGTTAACGTT	CATACCACACACTATTCTAAACATT	230
	(M) GATCGAAGATTTGGGTTAACGTT	GTACCACGCACTATTCTAAACGTT	230

U:非甲基化启动子的引物,M:甲基化启动子的引物。

PCR 仪由美国 MJ Research 公司生产。

**1.2 实验分组** 实验分两组:处理组,5-Aza-CdR 溶于二甲基亚砜(dimethyl sulfoxide, DMSO)中,用含 5.0  $\mu$ M 5-Aza-CdR 培养液连续处理 MDA-MB-231 细胞 4 d,对照组加入等体积的 DMSO。

**1.3 细胞培养及药物处理** MDA-MB-231 细胞用含 10% 胎牛血清的 L-15 培养液于 37 °C、无 CO<sub>2</sub> 孵育箱内培养,处理组与对照组均 2 d 换 1 次培养液。

**1.4 Transwell 趋化迁移实验** 消化、收集两组细胞,用磷酸盐缓冲液(phosphate buffer saline, PBS)洗涤 1 次,用无血清 L-15 培养基制成细胞悬液,浓度为  $5 \times 10^5$  个/mL,在 Transwell 小室的上室加入细胞悬液 200  $\mu$ L,下室加入 600  $\mu$ L 含 2.5% 胎牛血清的培养液,37 °C、无 CO<sub>2</sub> 孵育箱内培养 24 h,用棉签擦净膜上室面细胞,按照结晶紫染色液说明进行染色,在显微镜下选择中央、上、下、左、右 5 个 200 倍视野进行细胞计数,实验重复 3 次。

**1.5 细胞划痕实验** 消化、收集两组细胞,制成细胞悬液,浓度为  $5 \times 10^4$  个/mL,加入 24 孔板中,每孔 1 mL,待单层细胞完全融合,用 200  $\mu$ L 无菌枪头在中间划痕,PBS 冲洗 2 次以完全清除脱落悬浮细胞,每 24 小时换培养液 1 次。分别于 0、24、36、48 h 时间点在倒置显微镜 40 倍视野下摄像,用 Image Pro Plus 6.0 软件测划痕面积,计算划痕愈合率,划痕愈合率% = 1 - [(各时间点划痕面积 / 开始的划痕面积)] × 100%,愈合率代表愈合能力,实验重复 3 次。

**1.6 SqRT-PCR** 用 TRIzol 分别提取两组细胞总 RNA,然后用 M-MLV RT Kit 与 GoTaq® Green Master Mix 进行 RT-PCR 反应,操作过程遵照说明书,引物见表 1。扩增反应条件:(1)95 °C 2 min;(2)95 °C 30 s,57.4 / 52.8 / 51.7 °C(BRMS1 / CXCR4 / GAPDH) 30 s,72 °C 30 s,共 30 个循环;(3)72 °C 5 min。2% 琼脂糖凝胶电泳,溴化乙锭(ethidium bromide, EB)染色,紫外透射仪上观察并摄像,用 Quantity One 软件测条带的 IDV 并计算出相对于内参 GAPDH 的 IDV,实验重复 3 次。

**1.7 MSP** 用 DNazol 分别提取两组细胞基因组 DNA,然后用 EpiTect Bisulfite Kit 对基因组 DNA 进行重亚硫酸钠处理并净化回收,以上操作过程均遵照说明书,MSP 引物见表 2。扩增反应条件:(1)94 °C 5 min;(2)94 °C 30 s,50/52.8/51.7 / 51.7 / °C[BRMS1(u)/BRMS1(m)/CXCR4(u)/CXCR4(m)] 30 s,72 °C 45 s,共 35 个循环;(3)72 °C 7 min。2% 琼脂糖凝胶电泳,EB 染色,紫外透射仪上观察并摄像。

**1.8 统计学方法** 应用 SPSS13.0 软件包进行统计学分析,计量数据以  $\bar{x} \pm s$  表示,两组间比较采用 t 检验(双侧)分析,P

<0.05 为差异有统计学意义。

## 2 结果

### 2.1 5-Aza-CdR 对 MDA-MB-231 细胞体外迁移能力的影响

对照组与处理组 MDA-MB-231 细胞穿过 Transwell 小室膜的细胞数分别为 1 290.00 ± 214.64 与 673.00 ± 44.00,处理组穿过 Transwell 小室膜的细胞数较对照组明显减少( $P < 0.05$ ),见图 1a,b,c。

对照组与处理组 MDA-MB-231 细胞在 24、36、48 h 时间点划痕愈合率分别为 20.34 ± 0.69、59.31 ± 0.38、91.77 ± 0.13 与 20.19 ± 0.67、49.32 ± 0.24、69.47 ± 0.46,在 24 h 时间点两组愈合率差异无统计学意义( $P > 0.05$ ),但是在 36、48 h 时间点处理组划痕愈合率明显低于对照组( $P < 0.05$ ),见图 2。故 5-Aza-CdR 降低了 MDA-MB-231 细胞体外迁移能力。

**2.2 5-Aza-CdR 对 BRMS1 mRNA、CXCR4 mRNA 表达的影响** 对照组与处理组 BRMS1 RT-PCR 产物条带相对 IDV 分别为 0 与 0.39 ± 0.001,处理组相对 IDV 明显升高( $P < 0.05$ );对照组与处理组 CXCR4 RT-PCR 产物条带相对 IDV 分别为 0.58 ± 0.003 与 0.58 ± 0.01,两组相对 IDV 差异无统计学意义( $P > 0.05$ ),见图 3a,b。故 5-Aza-CdR 上调了 BRMS1 mRNA 表达,而对 CXCR4 mRNA 表达无明显影响。

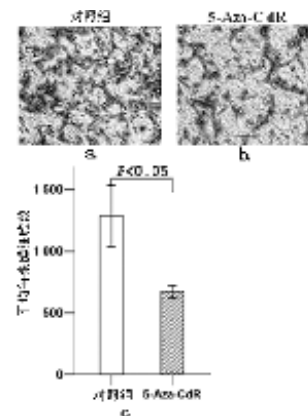


图 1 两组细胞穿过 Transwell 小室膜数量的比较

**2.3 BRMS1、CXCR4 基因启动子甲基化状态** 对照组 BRMS1 启动子区 CpG 岛 B 非甲基化扩增产物条带不可见,而甲基化的扩增产物条带较明显;CXCR4 启动子区 CpG 岛 1 非甲基化扩增产物条带较明显,而甲基化扩增产物条带不可见;处理组 BRMS1 启动子区 CpG 岛 B 扩增产物结果与对照组相反,而 CXCR4 启动子区 CpG 岛 1 扩增产物结果与对照组无明显差别,见图 4a,b。故 5-Aza-CdR 使甲基化的 BRMS1 基因启动子区去甲基化、而对非甲基化的 CXCR4 基因启动子区无明显影响。

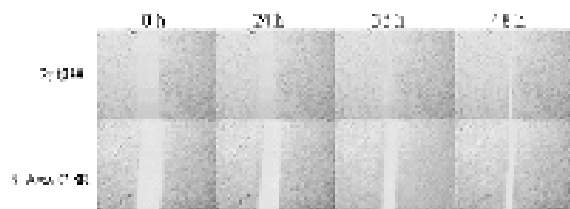


图 2 两组细胞在各时间点划痕愈合率的比较

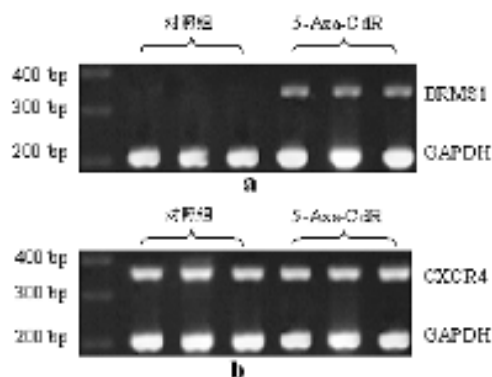


图 3 5-Aza-CdR 对 MDA-MB-231 细胞 BRMS1 mRNA 与 CXCR4 mRNA 表达的影响



图 4 对照组与 5-Aza-CdR 处理组 MDA-MB-231 细胞的 BRMS1 与 CXCR4 基因启动子甲基化状态

### 3 讨 论

DNA 甲基化是指基因序列中胞嘧啶的第 5 位碳原子上加入一个甲基, 即形成 5'-甲基胞嘧啶(5mC), 是真核生物遗传物质化学修饰的一种方式。真核生物中 DNA 甲基化多数位于基因 5' 端启动子区的 CpG 岛, 通过使 CpG 岛超甲基化方式抑制基因表达。5-Aza-CdR 能与甲基转移酶以共价键形式结合, 形成一个稳定的复合物, 甲基转移酶因而失活, 细胞在复制过程中不能将 S-腺苷-L-甲硫氨酸上的甲基基团转移至胞嘧啶上, 从而使因超甲基化失活的基因去甲基化而重新激活。由于目前发现多种抑癌基因的失活与其启动子区 CpG 岛超甲基化有关<sup>[4]</sup>, 故 5-Aza-CdR 成为癌症治疗比较有前景的药物。但是 5-Aza-CdR 在激活抑癌基因或肿瘤转移抑制基因的同时也会激活癌基因, 最终作用效果仍在研究当中。

BRMS1 是 2000 年发现的一种新的肿瘤转移抑制基因, 对体内乳腺癌细胞系的转移有明显抑制作用。BRMS1 抑制肿瘤转移机制目前仍然不太明确, 可能通过增加同型间隙连接与异型间隙连接的比值, 降低 NF-κB 活性从而减少骨桥蛋白表达<sup>[5]</sup>, 增加癌细胞运行过程中的死亡、失巢凋亡的易感性以及抑制定植等几个环节抑制乳腺癌转移<sup>[6]</sup>。BRMS1 的启动子区有两个 CpG 岛: 离转录起始位点(transcription initiation site, TIS)较远的 CpG 岛 B 在不同的乳腺癌细胞系中存在不同程度甲基化<sup>[5]</sup>。本研究发现, MDA-MB-231 细胞 CpG 岛 B 处于甲基化状态, 且 BRMS1 mRNA 表达处于抑制状态。经过 5-Aza-CdR 处理后, CpG 岛 B 完全去甲基化, 且 BRMS1 mRNA 表达量明显增加, MDA-MB-231 细胞迁移能力也比对照组明显降低。从而表明 BRMS1 启动子区 CpG 岛 B 的甲基化对其表达

有抑制作用。

CXCR4 是基质细胞衍生因子-1(stromal cell-derived factor-1, SDF-1)的受体, 通过信号转导调节肌动蛋白聚合与伪足形成, 诱导趋化性与浸润性反应, 促进迁徙与转移。CXCR4 表达在多种肿瘤细胞表面, 在肿瘤转移过程中起了主要作用<sup>[9]</sup>。CXCR4 基因启动子区有 4 个 CpG 岛, 存在不同程度的甲基化, 其中离 TIS 较远的 CpG 岛 1 甲基化程度的改变与 CXCR4 表达密切相关<sup>[6]</sup>。本文检测到对照组 MDA-MB-231 细胞 CXCR4 的 CpG 岛 1 处于非甲基化状态, 且 CXCR4 mRNA 表达量较高, 而 5-Aza-CdR 处理后, CpG 岛 1 非甲基化状态及 CXCR4 mRNA 表达量无明显改变, 故表明 5-Aza-CdR 对启动子非甲基化状态的 CXCR4 表达及非甲基化状态无明显影响。

NF-κB 可以上调 CXCR4、uPA 表达, 促进肿瘤转移<sup>[10]</sup>, 而 BRMS1 则能降低 NF-κB 活性抑制转移。由于该研究中 MDA-MB-231 细胞经 5-Aza-CdR 处理后, BRMS1 重新激活, 表达明显上调, 而 CXCR4 表达却无明显改变, 因此最终表现为 5-Aza-CdR 通过重新激活 BRMS1 表达, 使人高转移性乳腺癌 MDA-MB-231 细胞体外迁移能力降低。

### 参考文献:

- Ehrlich M. DNA methylation in cancer: too much, but also too little[J]. Oncogene, 2002, 21(35): 5400.
- Mulero-Navarro S, Esteller M. Epigenetic biomarkers for human cancer: the time is now[J]. Crit Rev Oncol Hematol, 2008, 68(1): 1.
- Abreu PA, Dellamora-Ortiz G, Leao-Ferreira LR, et al. DNA methylation: a promising target for the twenty-first century [J]. Expert Opin Ther Targets, 2008, 12(8): 1035.
- Szyf M, Pakneshan P, Rabbani SA. DNA methylation and breast cancer[J]. Biochem Pharmacol, 2004, 68(6): 1187.
- Metge BJ, Frost AR, King JA, et al. Epigenetic silencing contributes to the loss of BRMS1 expression in breast cancer[J]. Clin Exp Metastasis, 2008, 25(7): 753.
- Bogani C, Ponziani V, Guglielmelli P, et al. Hypermethylation of CXCR4 promoter in CD34<sup>+</sup> cells from patients with primary myelofibrosis[J]. Stem Cells, 2008, 26(8): 1920.
- Samant RS, Clark DW, Fillmore RA, et al. Breast cancer metastasis suppressor 1 (BRMS1) inhibits osteopontin transcription by abrogating NF-κB activation[J]. Mol Cancer, 2007, 6: 6.
- Phadke PA, Vaidya KS, Nash KT, et al. BRMS1 suppresses breast cancer experimental metastasis to multiple organs by inhibiting several steps of the metastatic process [J]. Am J Pathol, 2008, 172(3): 809.
- Muller A, Homey B, Soto H, et al. Involvement of chemo-kine receptors in breast cancer metastasis [J]. Nature, 2001, 410(6824): 50.
- Helbig G, Christopherson KN, Bhat-Nakshatri P, et al. NF-κB promotes breast cancer cell migration and metastasis by inducing the expression of the chemokine receptor CXCR4[J]. J Biol Chem, 2003, 278(24): 21631.